

Scour around a square pier with parabolic nose in presence of woody debris in front of pier

SM. Moshashaie¹, M. Asadi Aghbolaghi^{2*}

1- M.Sc. of Water Engineering, Faculty of Agriculture., Shahrekord University

2- Assistant Prof., Water Eng. Dept., Faculty of Agriculture., Shahrekord University

mahdi.asadi.a@gmail.com

Abstract:

Woody debris accumulates in front of bridge piers, reduces the flow area, deviates the flow and increases the velocity around the bridge piers. Debris accumulation in front of bridge piers increases the downward flow, and shear stress around the bridge pier, therefore, the scour hole depth increases and bed degradation accelerates. Most of previous researchers focused on the scour depth around the bridge piers, and less researchers have investigated the effect of debris accumulation on the scour depth. To the best of our knowledge, the effect of debris accumulation on the scour depth has not been reported in previously published literature, as explored in this work. The purpose of this study is to experimentally investigate the effect of accumulation of woody debris in front of a square pier with a parabolic nose on the scour depth. The experiments were performed in clear water condition, with and without debris accumulation and with 20, 30 and 40 l/s discharges and for different debris dimensions. The experiments were performed in a sixty centimeter width channel at the hydraulic laboratory of Shahrekord University. Previous field studies showed that most debris accumulates in front of bridge piers in rectangular shapes, therefore three different rectangular shapes debris are designed and are placed in front of bridge piers during the experiments. Since, performed experiments at twelve hours showed the maximum equilibrium scour depth occurs at the first seven hours, therefore, all experiments are done in 420 minutes. The results showed that when woody debris is placed over, at, and below the water surface respectively, the ratio of scour depth to the scour depth of control sample is 2.2, 2.36 and 1.44, respectively. Moreover, when the percentage of blockage (ratio of the occupied flow area by debris to the flow cross section) is 30% and when debris is located below the water surface, the maximum scour depth will occur (2.36 with respect to the control sample). Also, the comparison between a square pier with parabolic nose and a sharp nose piers at the same hydraulic condition, show when there are no debris, the scour depth around the square pier with a parabolic nose is less than the scour around a sharp nose square pier (1.5 times). For the case in which debris are placed in front of bridge pier, the scour depth, width, and length around a square pier with a parabolic nose are significantly decreased with respect to a sharp nose square pier (2.3 times). Also, using dimensional analysis an equation is presented for predicting the maximum scour depth around a square pier with a parabolic nose in presence of woody debris accumulation. The results show that there is good agreement between predicted and observed scour depth.

Keywords: Local Scour, Dimensional analysis, Bridge pier, Flow blockage, Experimental study.

آبشنستگی در اطراف پایه مربعی با دماغه سهمی شکل در حضور اجسام

شناور چوبی در جلوی پایه

سید میثم مشعشعی^۱، مهدی اسدی آقبلاغی^{*۲}

۱- دانشجوی کارشناسی ارشد سازه‌های آبی گروه مهندسی آب، دانشگاه شهرکرد

۲- استادیار گروه مهندسی آب، دانشکده کشاورزی، دانشگاه شهرکرد

mahdi.asadi.a@gmail.com

تاریخ پذیرش: [۱۳۹۴/۵/۲۴]

تاریخ دریافت: [۱۳۹۳/۶/۱۸]

چکیده - هدف از این پژوهش، تحلیل و بررسی آزمایشگاهی تاثیر تجمع اجسام شناور در جلوی پایه مربعی با دماغه سهمی شکل بر عمق گودال آبشنستگی است. آزمایش‌ها در شرایط آب زلال و در دو حالت با و بدون تجمع اجسام شناور در جلوی پایه با دیگر ۳۰، ۲۰ و ۴۰ لیتر بر ثانیه و برای ابعاد مختلف اجسام شناور انجام گرفت. نتایج نشان داد که وقتی اجسام شناور بالای سطح آب، هم سطح آب و زیر سطح آب باشند عمق آبشنستگی، به ترتیب، بیشینه تا $2/2$ ، $2/36$ و $1/44$ برابر نسبت به نمونه شاهد افزایش می‌یابد. علاوه بر این، زمانی که درصد انسداد (نسبت مساحت اشغال شده جریان به وسیله اجسام شناور به سطح مقطع جریان) برابر با $35/29\%$ و اجسام شناور در هم سطح آب قرار گرفته باشند، بیشینه آبشنستگی ($2/36$ برابر نمونه شاهد) رخ می‌دهد. همچنین در حالتی که اجسام شناور وجود ندارند، میزان آبشنستگی پایه مربعی با دماغه سهمی شکل نسبت به حالت پایه مربعی با دماغه تیز، $1/5$ برابر کمتر است. علاوه وجود اجسام شناور در جلوی پایه مربعی با دماغه سهمی تأثیر قابل ملاحظه‌ای بر کاهش عمق، عرض و طول گودال آبشنستگی نسبت به پایه مربعی با دماغه تیز دارد ($2/3$ برابر). همچنین با استفاده از آنالیز ابعادی معادله‌ی جدیدی برای پیش‌بینی بیشینه عمق آبشنستگی با وجود تجمع اجسام شناور چوبی در جلو پایه مربعی با دماغه سهمی شکل ارائه شد.

واژگان کلیدی: آبشنستگی موضعی، آنالیز ابعادی، انسداد جریان، پایه پل، مطالعه آزمایشگاهی.

پل با شرایط مختلف هندسی، هیدرولیکی و رسوبی، حتی در حضور سازه‌های حفاظتی متمنکر بوده است. سایر پژوهشگران $[۱, ۲, ۳, ۴, ۵, ۶, ۷, ۸]$ به بررسی تاثیر شدت جریان آب، حجم رسوب، عمق جریان، و شکل هندسی پایه‌های پل بر بیشترین عمق آبشنستگی در اطراف پایه‌های پل پرداختند برخی از آن‌ها راهکارهایی برای کم کردن بیشینه عمق گودال آبشنستگی (با توجه به دهانه‌ی ورودی، سنگ ریزی، و قالب چهارضلعی پایه) ارائه کردند. این مطالعات طیف گسترده‌ای از متغیرها و وضعیت‌های موثر بر آبشنستگی پل را پوشش می‌دهد. از این مطالعات چنین استنباط می‌شود که گودال آبشنستگی زمانی به بیشینه مقدار خود می‌رسد که بین وضعیت‌های آب زلال و

انباشتگی تکه‌های چوب و کنده‌ی درختان در اطراف پایه‌های پل باعث انسداد جریان آب رودخانه می‌شود. افزایش آبگرفتگی باعث آبشنستگی‌های بیشتر و رسوب‌زدایی و کف‌کنی بیشتری در مقایسه با عدم انباشتگی اجسام شناور می‌شود که خود باعث زیرشویی می‌شوند و بنابراین بر استحکام پل تاثیر می‌گذارد و منجر به خرابی غیرمنتظره‌ی پل‌ها می‌شود $[۱, ۲]$. آبشنستگی پایه‌ی پل در چند دهه‌ی گذشته بسیار مورد پژوهش و بررسی قرار گرفته است $[۳, ۴, ۵, ۶]$. این پژوهش‌ها بیشتر بر بزرگترین گودال آبشنستگی، شکل هندسی آبشنستگی و روند زمانی تکامل آبشنستگی ایجاد شده در اطراف یک یا چند پایه‌ی

اجسام شناور بر آبشنستگی پایه پل‌ها پرداخته شده است [۱۳، ۱۴، ۱۵، ۱۶ و ۱۷]. تنها برخی از این پژوهش‌ها، به بررسی آزمایشگاهی تأثیر تجمع اجسام شناور بر آبشنستگی پایه‌پل پرداخته‌اند. ملویل و دانگول [۱۳] در مطالعه آزمایشگاهی، اجسام شناور چوبی را در جلوی پایه استوانه‌ایی شکل قرار دادند و اثر آن‌ها را بر آبشنستگی پایه پل بررسی کردند. آن‌ها عنوان کردند برای در نظر گرفتن اثر تجمع اجسام شناور می‌توان قطر پایه را افزایش داد و رابطه‌ی زیر را برای قطر پایه‌ی معادل پیشنهاد کردند:

$$D_e = \frac{[0.52 T d_d + (h - 0.52 T) D]}{h} \quad (1)$$

که در این رابطه، D_e قطر پایه‌ی معادل یا هم ارز است، h و D به ترتیب عمق آب و قطر پایه پل، T و d_d هم به ترتیب ضخامت (ارتفاع) و عرض اجسام شناور هستند. پس از آن پاگلیارا و کارناسینا [۱۵] به بررسی روند تکامل شکل‌گیری آبشنستگی در انباشت‌های سخت و متخلخل پرداختند. ضمن اینکه پاگلیارا و کارناسینا [۱۶] تأثیر شکل تجمع اجسام شناور چوبی را بر آبشنستگی پایه پل بررسی کردند. یافته‌های اصلی پژوهش‌های آنها نشان دهنده‌ی تأثیر چشمگیر منطقه‌ی مسدود شده به وسیله‌ی اجسام شناور بر بیشترین عمق حفره‌ی آبشنستگی بود. تمام این آزمایش‌ها فقط در یک عمق برای تجمع اجسام شناور انجام شد و هیچگاه به پایین دست پایه‌ی پل کشیده نشد. اما تحلیل و مقایسه‌ی داده‌های ملویل و دانگول [۱۳] نشان دهنده کاهش بیشترین عمق حفره‌ی آبشنستگی است، که شاید به علت طول عرضی اجسام شناور چوبی و گسترش آن باشد.

اگرچه در مورد بررسی تأثیر اجسام شناور چوبی بر عمق آبشنستگی موضعی بر پایه مربعی شکل کارهای پژوهشی انجام شده ولی برای پایه مربعی با دماغه سهمی شکل، مطالعاتی انجام نگرفته است. پس در این پژوهش، عمق آبشنستگی موضعی در حضور اجسام شناور در اطراف یک پایه مربعی با دماغه سهمی شکل مطالعه می‌شود. در صورت عملکرد مطلوب پایه با دماغه سهمی در مقابل آبشنستگی می‌توان آن را جایگزین پایه‌های متدالوی کرد. به گونه‌ای که در شرایط مختلف

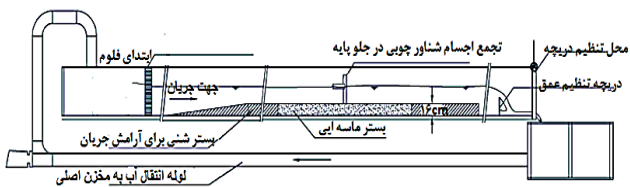
بستر زنده در گذار باشد [۵ و ۶]. به علاوه، کم عمق بودن جریان و حجم بالای رسوبات بیشترین عمق تعادل آبشنستگی را کاهش می‌دهد [۷].

رونده زمانی تکامل بزرگترین آبشنستگی در اطراف پایه پل به وسیله‌ی پژوهشگران متعددی مورد بررسی قرار گرفته است [۴، ۵، ۸ و ۹]، این پژوهشگران معادلات متعددی را با توجه به مشاهدات تجربی و میدانی خود مطرح ساختند.

ویژگی‌های اجسام شناور چوبی و کنده‌ی درختان و تأثیر آنها بر شکل ظاهری رودخانه‌ها و انحراف جریان آب به وسیله‌ی برخی از پژوهشگران بررسی شده است [۱۰، ۱۱ و ۱۲]. نتایج این پژوهش‌ها بیشتر بر انباشتگی در رودخانه‌ها و نهرها متمرکز بوده است و مطالعات کمی بر روی تأثیر اجسام شناور بر آبشنستگی پایه پل‌ها انجام شده است. اجسام شناور چوبی و کنده‌ی درختان در اثر فرسایش بستر رودخانه و حرکت مجدد کنده‌های چوبی ذخیره شده در بستر سیلانی یا در اثر ریزش کوه یا بهمن به وجود می‌آید. ویژگی‌های هندسی، حجم و احتمال جایه‌جایی تجمع اجسام شناور چوبی به نوع کنده‌های چوبی و جریان آب، یعنی عمق آب، حرکت موجی و پهنهای کanal آب، قطر کنده‌ها و طول مسیر بستگی دارد. برادریک و گرنت [۱۰] مشخصات اجسام شناور را بر اساس احتمال رسوب ذرات چوبی در کanal آب و ویژگی این چوب‌ها تعریف کرده‌اند. بعدها لین و همکارانش [۱۱] به بررسی مکانیک تجمع ذرات چوبی بزرگ LWD در اطراف پایه‌های پل پرداختند. شکل ظاهری کanal‌ها و همچنین شکل پایه‌های پل تأثیر چشمگیری بر تجمع اجسام شناور و کنده‌های چوبی در جلو پایه‌های پل دارد. همچنین لین و همکاران [۱۱] بدین نتیجه رسیدند که ابعاد نسبی کنده‌ها با توجه به عمق آب یک پارامتر مهم برای توصیف گرفتگی اجسام شناور است. مشاهده میدانی نشان می‌دهد که تجمع اجسام شناور به صورت تدریجی و نه یکباره، اتفاق می‌افتد و توده‌ی اجسام شناور ابتدا تجمع می‌یابد و در زمان‌های مختلف، حتی زمان‌هایی غیر از زمان اوج هیدروگراف، رشد می‌یابد.

پژوهش‌های تجربی و میدانی متعددی به بررسی تأثیر تجمع

قرارگیری پایه و اجسام شناور را نمایش می‌دهد.



شکل (۱) نمایی از فلوم آزمایشگاهی و چگونگی قرارگیری پایه و اجسام شناور چوبی

۲-۲ طراحی اجسام شناور چوبی مستطیلی و ویژگی مواد بستر

براساس پژوهش‌های انجام شده به وسیله‌ی پژوهشگران چون ملوبیل و دانگول [۱۳] و دیهل [۲۲] تجمع اجسام شناور چوبی در طبیعت بیشتر به شکل مستطیلی است که کاملاً می‌توانند در جریان بالادرست اطراف پایه پل انباسته شوند و در نهایت به سمت پایین پایه پل (زیر سطح آب) نفوذ کنند. بنابراین در این پژوهش، اجسام شناور چوبی مستطیلی شکل، در داخل قفسه‌های توری با فاصله‌ی عرضی $1/2$ سانتی‌متر (تا جریان آب به راحتی از این توری‌ها عبور کند) به صورت آزمایشگاهی شیوه‌سازی شد (شکل ۲).

این قفسه‌ها به شکل مستطیلی و در اندازه‌های متفاوت مطابق با جدول ۱ است. که در این جدول؛ T : بیانگر ارتفاع اجسام شناور، d_d : عرض اجسام شناور در عرض کanal، L_d : طول اجسام شناور در طول کanal، D : عرض پایه، b : بیانگر عرض کanal، n_d : نفوذپذیری اجسام شناور چوبی به کار برده شده در آزمایش‌ها است که برابر با نسبت حجم منافذ خالی بین چوب‌های داخل قفسه به حجم کل قفسه اجسام شناور چوبی می‌باشد. این اجسام در سه حالت نسبت به سطح آب جلوی پایه (چسبیده به دماغه سهمی شکل) قرار گرفتند؛ هم سطح آب، زیر سطح آب (متوسط عمق) و بالای سطح آب (روی سطح آب).

هیدرولیکی رودخانه (با و بدون اجسام شناور چوبی) کمینه آبشتستگی در پایه‌های پل ایجاد شود. نتایج به صورت نمودار و جدول ارائه و مورد بحث و بررسی قرار گرفت. همچنین معادله‌ای برای بیشینه عمق آبشتستگی، در اثر تجمع اجسام شناور چوبی مستطیلی در جلو پایه مربعی با دماغه سهمی شکل با استفاده از آنالیز ابعادی ارائه شد.

۲- مواد و روش‌ها

۲-۱ مشخصات مجرای آب

آزمایش‌ها در آزمایشگاه هیدرولیک گروه مهندسی آب دانشگاه شهرکرد انجام شد. کanal شامل مورد استفاده یک مجرای افقی با دیواره‌های شیشه‌ای به طول ۲۰ متر، عرض ۶۰ سانتی‌متر و ارتفاع ۶۰ سانتی‌متر است. یک پمپ در بالادرست کanal ایجاد شده است که بیشترین توان تخلیه‌ی آن ۷۰ لیتر بر ثانیه است. همه آزمایش‌ها در شرایط آب زلال با بستر ماسه‌ای به ضخامت ۱۶۰ میلی‌متر انجام گرفت. انحراف معیار هندسی $\sigma = 1/1$ و اندازه‌ی متوسط دانه‌های ماسه $d_{50} = 0.78$ میلی‌متر است. در همه آزمایش‌ها شب فلوم $1/0$ درصد به طور ثابت، و عمق جریان در بالای سطح بستر ۲۰ سانتی‌متر در نظر گرفته شده است. آزمایش‌ها با دیهای 20 ، 30 و 40 لیتر بر ثانیه انجام شد، در این آزمایش‌ها از یک پایه مربعی با دماغه سهمی شکل به ضلع مربع ۹ سانتی‌متر و ارتفاع دماغه سهمی ۱۵ سانتی‌متر استفاده شد. آزمایش‌ها برای اجسام شناور مستطیلی با چهار اندازه‌ی متفاوت (از نظر طول و عرض، و ارتفاع ثابت) که در جلوی پایه (چسبیده به دماغه سهمی شکل) قرار گرفت، انجام شد. عمق آبشتستگی در دو حالت با اجسام شناور و بدون اجسام شناور با استفاده از نقطه‌سنجد (کولیس) اندازه‌گیری و با هم مقایسه شد. شکل ۱ نمایی از فلوم آزمایشگاهی و چگونگی

جدول (۱) مشخصات اجسام شناور چوبی به کار رفته در آزمایش‌ها

n_d	L_d / d_d	d_d / D	d_d / b	L_d / D	T (cm)	d_d (cm)	L_d (cm)	شکل اجسام
۰/۶-۰/۷	۰/۷۵	۲/۲۲۳	۰/۳۳۴	۱/۶۶۷	۱۰	۲۰	۱۵	(M ₁)
۰/۷	۰/۴۸	۲/۷۷۸	۰/۴۱۶	۱/۳۳۴	۱۰	۲۵	۱۲	(M ₂)
۰/۷	۰/۶۶۷	۳/۲۲۴	۰/۵	۲/۲۲۳	۱۰	۳۰	۲۰	(M ₃)
۰/۷	۰/۵۵۶	۵	۰/۷۵	۲/۷۷۸	۱۰	۴۵	۲۵	(M ₄)

آبشنستگی نشان داده شده است. در این شکل T_d , ضخامت مستغرق اجسام شناور است که در کلیه آزمایش‌ها چون ارتفاع اجسام شناور چوبی ثابت است (۱۰ سانتی‌متر) مقدار آن برای وقتی که اجسام شناور؛ بالای سطح آب باشد ۵ سانتی‌متر، هم سطح آب و زیر سطح آب باشد ۱۰ سانتی‌متر است.

ضخامت بستر ریخته شده (ماسه) در فلوم با توجه به بیشینه عمق آبشنستگی، ۱۶۰ میلی‌متر در نظر گرفته شد. محدوده‌ای معادل ۴ متر از فلوم آزمایشگاهی با رسوبات غیر چسبنده با مشخصات جدول ۲، پر شد. و در بالا دست و پایین دست برای کنترل و حفاظت رسوبات در مقابل قدرت جریان از دو سطح شیبدار چوبی که با مقادیر قابل توجهی شن برای افزایش آرامش جریان بالارونده بر روی سطح پوشیده شده بودند استفاده شد.

جدول (۲) ویژگی‌های رسوبات بستر مورد استفاده در آزمایش

$d_{50}(\text{mm})$	$d_{16}(\text{mm})$	$d_{84}(\text{mm})$	G_s
۰/۷۸	۰/۷۲	۰/۸۶	۲/۶۵

۳-۲ تعیین سرعت متوسط و سرعت آستانهٔ حرکت رسوبات

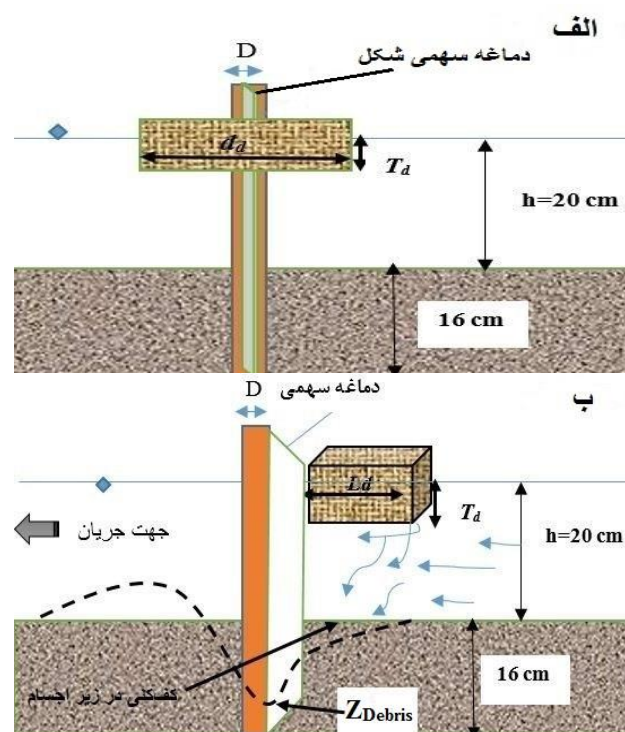
به منظور اجرای آزمایش‌ها در شرایط آب زلال و با بستر ثابت که در آن به جز آبشنستگی موضعی در اطراف پایه پل هیچ‌گونه حرکت رسوبی نداشته باشیم نیاز است تا آستانه حرکت رسوبات تعیین شود. بدین منظور سرعت آستانه حرکت ذرات بستر، U_c بر اساس فرمول ریچاردسون و دیویس [۵] تخمین زده شد و به صورت زیر است:

$$U_c = \frac{K_s^{0.5} (S_s - 1)^{0.5} \cdot d_{50}^{0.5} \cdot h^{0.167}}{n} \quad (2)$$

در رابطه بالا U_c سرعت آستانه حرکت رسوبات (m/s)، K_s پارامتر بی بعد شیلدز، d_{50} وزن مخصوص نسبی ذرات (که مقدار آن ۲/۶۵ و به صورت بی بعد است)، d_{50} عرض متوسط ذرات (m)، h عمق جریان (m) و n ضریب زبری مانینگ است که از رابطه‌ی استریکلر به دست می‌آید. با



شکل (۲) طراحی اجسام شناور چوبی مستطیلی



شکل (۳) مشخصات اجسام شناور چوبی در جلو پایه الف- مقطع عرضی ب- مقطع طولی و ج- پلان

شکل ۳ به صورت نمادین، چگونگی قرارگیری اجسام شناور و ایجاد گودال آبشنستگی در این مطالعه را نشان می‌دهد که در آن اجسام شناور چوبی مستطیلی شکل در جلو پایه در حالت بالای سطح آب قرار دارد. که در آن Z_{Debris} بیشترین عمق آبشنستگی در اطراف پایه می‌باشد. در مقطع طولی، فروافتگی و بالآمدگی در سطح بستر در اثر

کanal در یک دبی کم ($Q \approx 0.001 \text{ m}^3/\text{s}$) کاملاً انباشته از آب شد تا زمانی که عمق آب در کanal به ۲۰ سانتی متر بالاتر از سطح بستر برسد (برای جلوگیری از آبستگی اولیه در جلو پایه). سپس با افزایش دبی، Q مورد نظر برای آزمایش تنظیم شد، ضمن این که سطح آب طوری تنظیم شده بود که عمق جریان در ۲۰ سانتی متری ثابت بماند (با استفاده از دریچه تنظیم عمق در انتهای فلوم). از یک نقطه سنج با دقت ۰.۱ mm برای اندازه گیری عمق آبستگی استفاده شد. میزان آبستگی در دقایق ۱، ۱۵، ۲۰، ۳۰، ۴۵، ۶۰، ... و ۴۲۰ اندازه گیری شد و هر آزمایش به طور کلی به مدت ۴۲۰ دقیقه انجام شد. این زمان بر اساس پژوهش های قربانی و کلز [۱۸] و همچنین با انجام آزمایش های ۱۲ ساعته مشخص شد، به گونه ای که بیشینه آبستگی موضوعی در کنار پایه پل ها در ۷ ساعت اول آزمایش انجام گرفت.

۵-۲ آنالیز ابعادی

بیشترین عمق آبستگی در محاسبات اطراف پایه های پل (Z)، تابعی از شکل هندسی پل (f_{bg})، جریان آب یا سیل (f_f)، رسوبات (f_{st})، و زمان (f_t)، در نظر گرفته شده است:

$$Z = f_{bg} \left[f_{hp} (D, S_{hp}, A_{lp}, b), f_f (U, h, v, \rho, g) \right], \\ f_{st} (d_{50}, \sigma, \rho'), f_t (t) \quad (3)$$

در این رابطه؛ S_{hp} شکل پایه ای پل، A_{lp} عامل هم ترازی یا یکنواختی رسوبات که طبق پژوهش های پاگلیارا و کارناسینا [۱۶] اثر ناچیزی دارد (در اینجا نادیده در نظر گرفته شد)، t زمان، U سرعت متوسط جریان، b عرض کanal، v ویسکوزیته سینماتیکی، ρ چگالی آب، g شتاب ثقل، d_{50} متوسط اندازه رسوبات، σ انحراف معیار هندسی ذرات رسوی و $\rho_s' = \rho_s - \rho$ چگالی نسبی رسوبات، که ρ_s چگالی رسوبات است. وجود تجمع اجسام شناور چوبی در جلو پایه، تاثیر جدیدی در محاسبات عمق آبستگی می گذارد و از این رو پارامترهای هندسی (f_d) مشخصات اجسام شناور، را هم

محاسبه ای مقدار عددی ۰/۰۳۱ برای پارامتر شیلدز ($\frac{d_s}{\sqrt{0.1(S_s - 1)gd_s}}$ و نوی [۲۱])، سرعت بحرانی در ۲۰ سانتی متری که برای تمام آزمایش ها ثابت در نظر گرفته شده است مطابق جدول ۳ محاسبه شد.

جدول (۳) محاسبه سرعت آستانه حرکت در عمق ۲۰ سانتی متری

عمق جریان (سانتی متر)	سرعت آستانه حرکت	
	مشاهده ای	محاسبه ای
۲۰	۰/۳۸۸	۰/۳۶۷

از آنجایی که مقدار مشاهده ای سرعت آستانه حرکت رسوبات کمتر از مقدار محاسبه ای است. پس در این پژوهش از روش مشاهده ای برای تعیین سرعت آستانه حرکت استفاده شد.

همچنین جدول ۴، محاسبه نسبت سرعت متوسط جریان به سرعت بحرانی (سرعت آستانه حرکت رسوبات) و عدد فرود (Fr) با دبی های ذکر شده در عمق ۲۰ سانتی متری را نشان می دهد.

جدول (۴) محاسبه نسبت سرعت متوسط به سرعت آستانه حرکت

U (m/s)	U/U_c	Fr	Q(lit/s)
۰/۱۶۷	۰/۴۵۵	۰/۱۱۹۲	۲۰
۰/۲۵	۰/۶۸۱	۰/۱۷۸۴	۳۰
۰/۳۳۴	۰/۹۱	۰/۲۳۸۴	۴۰

در جدول بالا Fr عدد فرود و برابر با ($Fr = \frac{U}{\sqrt{gh}}$) و g نیز شتاب ثقل و مقدار آن برابر با 9.81 m/s^2 است.

۴-۲ اجرای آزمایش

برای هریک از آزمایش ها، بستر در فلوم آزمایشگاهی در اطراف پایه پل با دقت تراز شد و اجسام شناور چوبی در فواصل مختلف از بستر (هم سطح آب، زیر سطح آب و بالای سطح آب) در داخل کanal در جلو پایه قرار داده شد. پس از آنکه اجسام شناور چوبی در جلو پایه نصب شد،

$$\frac{Z_{Debris}}{D} = \Pi \left[\frac{D}{d_{50}}, \frac{h}{D}, Fr, \Delta A \%, \frac{d_d}{b}, \frac{L_d}{D}, \frac{T}{h} \right] \quad (5)$$

در این رابطه Fr عدد فرود و برابر با $\frac{U}{\sqrt{gh}}$ است و

$\Delta A \%$ یک پارامتر بدون بعد است که برای بررسی انسداد ایجاد شده به وسیله‌ی اجسام شناور چوبی در رابطه فوق لحاظ شد و مقدار آن برابر با $\Delta A \% = [(d_d - D) \cdot T_d / (b - D) \cdot h] \cdot 100$ است. همچنین Π , در رابطه فوق یک نماد عملکردی است. اجسام مستطیلی شکل چوبی، نفوذپذیر در جلو پایه مورد آزمایش قرار گرفته است. لازم به ذکر است که آزمون نمونه شاهد، آزمون بدون تجمع اجسام شناور) در همان شرایط آزمایشی، یعنی شدت جریان، زبری سطح، عمق آب، و آبگرفتگی اطراف پایه‌ی پل انجام می‌شود، برای نمونه شاهد $\Delta A \% = 0$ است.

۳- بحث و نتیجه‌گیری

۱-۳ مقایسه آبشنستگی پایه مربعی با دماغه سهمی در حالت‌های با و بدون اجسام شناور

برای پایه مربعی با دماغه سهمی شکل و برای نمونه شاهد، و با دبی ۲۰، ۳۰ و ۴۰ لیتر بر ثانیه، عمق آبشنستگی بیشینه به ترتیب برابر با $2/15$ ، $3/28$ و $4/35$ سانتی‌متر مشاهده شد. وجود دماغه سهمی شکل یا تورفتگی دماغه باعث شد که بیشینه عمق آبشنستگی در محل اتصال پایه مربعی به دماغه سهمی اتفاق افتاد و در کناره‌های دماغه مقدار آبشنستگی ناچیز باشد. همچنین بیشینه عمق آبشنستگی بدون تجمع اجسام شناور چوبی (نمونه شاهد) برای پایه مربعی با دماغه سهمی نسبت به پایه مربعی با دماغه تیز حاصل از مطالعات مشعشعی و همکاران [۱۹] به میزان $1/5$ برابر کاهش یافت. با قرار دادن اجسام شناور چوبی متفاوت در جلو پایه در موقعیت‌های قرارگیری گفته شده (بالای سطح، هم سطح و زیر سطح آب) عمق گودال آبشنستگی تغییر می‌کند. به گونه‌ای که با برخورد جریان به اجسام شناور یک جریان روبه پایین ایجاد می‌شود که باعث به حرکت در آوردن مواد بستر

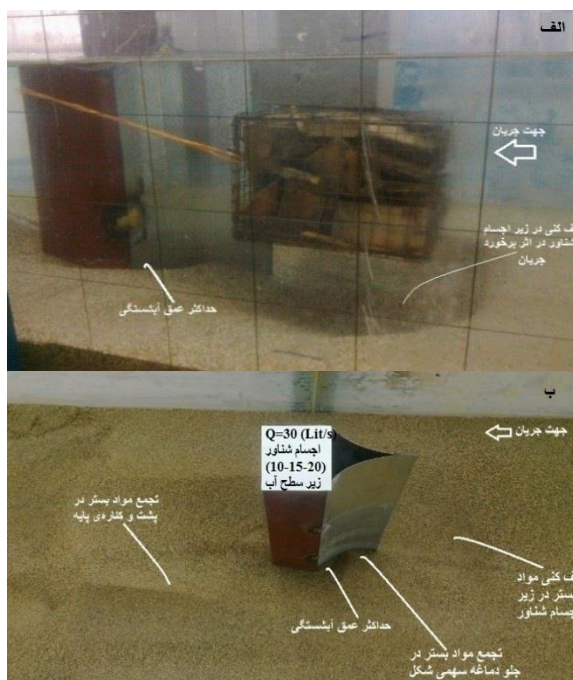
باید بدان اضافه کرد، بنابراین رابطه‌ی (۳) به شکل زیر در می‌آید:

$$Z_{Debris} = f \left[\frac{f_{bg}(D, S_{hp}, A_{lp}, b)}{f_{st}(d_{50}, \sigma, \rho')}, \frac{f_t(t)}{f_d(d)}, \frac{f_{hd}(T_d, L_d, S_d, n_d)}{f_d(d)} \right] \quad (4)$$

در این رابطه n_d ، نفوذپذیری اجسام شناور چوبی است که براساس مطالعه پاگلیارا و کارناسینا [۱۵] تعریف شده است و طبق مطالعات ایشان تاثیر اندکی بر سر تکاملی آبشنستگی دارد. S_{hd} بیانگر شکل اجسام شناور چوبی، d_d عرض اجسام شناور چوبی، و f یک نماد عملکردی است. همچنین تاثیر ویسکوزیته جریان و تاثیر رسوبات نیز نادیده گرفته شده است زیرا عدد رینولدز بزرگ ($R_e = 4uh / v > 2 \times 10^5$) است و مواد بستر در این آزمایش‌ها تقریباً یکنواخت بودند. غیر یکنواختی رسوبات باعث کاهش آبشنستگی موضعی می‌شود، پس در صورتی که انحراف معیار هندسی ذرات کمتر از $1/3$ باشد ($\sigma = \sqrt{D_{84} \div D_{16}} < 1.3$) شرط یکنواختی ذرات برقرار، و اثر غیر یکنواختی رسوبات بر آبشنستگی موضعی از بین می‌رود. همچنین لایه جوشنی (رسوبات درشت دانه به عنوان محافظ بر روی رسوبات ریز قرار می‌گیرند) در آزمایش‌ها ظاهر نشد. همچنین چون در این پژوهش هدف این است که رابطه‌ای فقط برای پایه مربعی با دماغه سهمی شکل ارائه شود پس اثر شکل پایه S_{hp} نادیده در نظر گرفته شد. به علاوه در این مطالعه عمق آبشنستگی در حالت به تعادل رسیده (حالت ماندگار) بررسی شد، پس اثر زمان نیز در معادلات نادیده گرفته شد. با توجه به توضیحات بالا در این پژوهش 10 پارامتر مؤثر ($D, d_{50}, h, b, g, U, T_d, d_d, Z_{Debris}, L_d$) وجود دارد. و چون پارامترها دارای دو بعد مستقل زمان (T) و طول (L) است، بنابراین طبق تئوری باکینگهام 8 پارامتر بدون بعد به دست می‌آید؛ که با توجه به آبشنستگی در اثر تجمع اجسام شناور چوبی و قطر پایه، رابطه‌ی (۴) به صورت زیر در خواهد آمد:

چه طول و عرض اجسام شناور افزایش یابد میزان کفکنی در زیر اجسام شناور نسبت به بیشینه عمق آبستگی بیشتر می‌شود (ایجاد یک گودال در بالادست پایه). به عبارتی بیشینه عمق آبستگی (در حالت زیر سطح آب) نسبت به حالت‌های قرارگیری بالای سطح و هم‌سطح آب کمتر می‌شود. با مقایسه سه حالت قرارگیری اجسام شناور مشخص می‌شود، که برای اجسام شناور چوبی در حالت هم سطح آب بیشترین عمق آبستگی رخ می‌دهد. برای تمام بازه‌های آزمایش شده رفتار مشابه مشاهده شد.

شکل ۵ قرارگیری اجسام شناور چوبی در حین آزمایش با عرض، طول و ارتفاع به ترتیب (۲۰-۱۵-۲۰) سانتی‌متر، و گودال آبستگی ایجاد شده را با دبی ۳۰ لیتر بر ثانیه در حالت زیر سطح آب در زمان ۴۲۰ دقیقه (بعد از اتمام آزمایش) نشان می‌دهد. با توجه به شرایط هیدرولیکی و هندسه، وجود اجسام شناور چوبی نشان دهنده مقادیر متفاوت عمق آبستگی و انباشت ماسه‌ها در کناره‌ها و پایین دست پایه است.

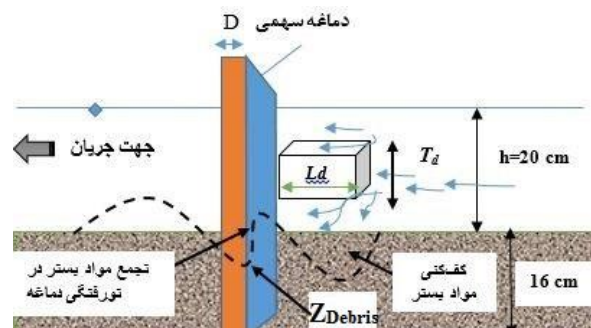


شکل (۵) نمایش گودال آبستگی در حالت زیر سطح آب الف- در حین آزمایش ب- در پایان آزمایش در زمان ۴۲۰ دقیقه با مشخصات؛

$$\frac{d_d}{b} = 0.333, \frac{L_d}{D} = 2.222, Fr = 0.1784, \Delta A\% = 10.78$$

در زیر اجسام شناور و کفکنی مواد بستر در جلو پایه می‌شود. در نتیجه وجود اجسام شناور باعث افزایش طول و عرض گودال در جلو پایه می‌شود.

در شرایطی که اجسام شناور چوبی در موقعیت زیر سطح آب در جلو پایه قرار می‌گیرند، به علت وجود دماغه سهمی شکل (تورفتگی دماغه) مواد بستر در اثر کفکنی در زیر اجسام شناور (در حالت جسم شناور زیر سطح آب، کفکنی مواد بستر شدیدتر است)، در محل دماغه سهمی یا به اصطلاح تورفتگی دماغه، تجمع می‌یابند و به شکل یک تپه ماسه‌ایی تورفتگی دماغه را می‌پوشانند. همچنین بعد از گذشت یک دوره زمانی این تپه ماسه‌ای به بیشینه میزان خود می‌رسد و جریان باعث لغزش در آن و در نتیجه فرو ریختن آن در چاله آبستگی و کاهش بیشینه عمق آبستگی می‌شود. شکل ۶ به صورت نمادین کفکنی مواد بستر زیر اجسام شناور و تجمع آن در محل تورفتگی دماغه و بیشینه عمق آبستگی را نشان می‌دهد.



شکل (۶) نمایش پروفیل طولی آزمایش برای اجسام شناور در موقعیت زیر سطح آب و تپه ماسه‌ای در محل تورفتگی

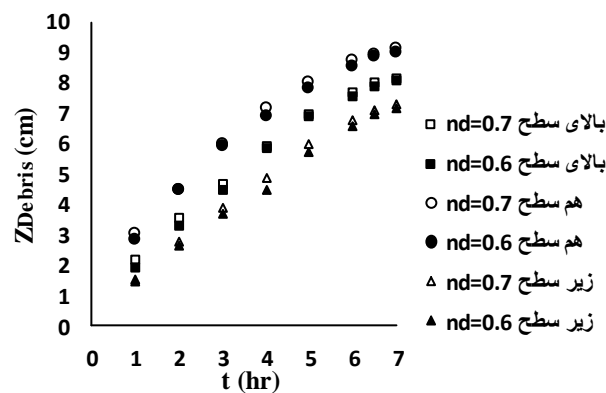
برای موقعیت قرارگیری اجسام شناور در بالای سطح و هم‌سطح آب، طول و عرض اجسام شناور تاثیر زیادی بر افزایش عمق گودال آبستگی دارد به طوری که هرچه عرض و طول اجسام شناور قرار گرفته در جلو پایه پل بیشتر باشد عمق کفکنی در زیر اجسام شناور کمتر می‌باشد (نسبت به موقعیت زیر سطح آب) و ماسه کمتری در محل تورفتگی دماغه تجمع می‌یابد. در نتیجه بیشینه عمق آبستگی افزایش می‌یابد. اما شرایط برای اجسام شناور در موقعیت زیر سطح آب کاملاً متفاوت است به شکلی که هر

آب پرداخته شد. شکل ۶ تکامل آبشنستگی در اثر تجمع اجسام شناور چوبی مستطیلی با طول، عرض و ارتفاع (۲۰-۱۵-۱۰) سانتی‌متری را در موقعیت‌های قرارگیری گفته شده در مقابل زمان نشان می‌دهد. همان طوریکه ملاحظه می‌شود نفوذپذیری (n) تاثیر اندکی بر بیشینه عمق آبشنستگی دارد به گونه‌ای که برای حالت‌های قرارگیری بالای سطح، هم سطح و زیر سطح آب رفتار مشابهی مشاهده شد.

۳-۳ تاثیر ابعاد و موقعیت قرارگیری اجسام شناور بر بیشینه عمق آبشنستگی

شکل ۷ به مقایسه پروفیل طولی تاثیر تجمع اجسام شناور چوبی (۱۰-۱۵-۲۰) و (۱۰-۲۰-۳۰) سانتی‌متر روی عمق آبشنستگی نسبت به نمونه شاهد در دبی ۴ لیتر بر ثانیه می‌پردازد. در این شکل، Z_{Debris} نشان دهنده تراز گودال آبشنستگی نسبت به کف کanal می‌باشد و X فاصله‌ی طولی گودال آبشنستگی ایجاد شده در جلو و پشت پایه می‌باشد. همان‌گونه که شکل نشان می‌دهند، اجسام شناور چوبی باعث افزایش طول (۲/۵ برابر)، عرض (۲/۳ برابر) و عمق گودال آبشنستگی (۲/۱ برابر) نسبت به نمونه شاهد شده‌اند. گودال آبشنستگی از طرفی دیگر، محل قرارگیری اجسام شناور چوبی (بالای سطح، هم سطح و زیر سطح آب) در جلو پایه پل تاثیر زیادی روی عمق، عرض و طول گودال آبشنستگی دارد. به گونه‌ای که نمای بالادست گودال آبشنستگی دو شیب متفاوت را نشان می‌دهد. در حالت اجسام شناور زیر سطح آب، در بالادست گودال شیب رفته رفته تندر می‌شود و در نزدیک پایه این شیب نسبت به گودال بالادست کاهش می‌یابد. همچنین برای حالت‌های بالای سطح و هم سطح آب در بالادست گودال شیب ملائم‌تر (نسبت به حالت زیر سطح آب) و در نزدیک پایه رفته رفته شیب تندر می‌شود (شکل ۷الف). در مقابل با افزایش طول و عرض اجسام شناور شیب گودال در بالادست برای حالت زیر سطح آب بیشتر از حالت قبل و در نزدیک پایه شیب کاهش بیشتری دارد. برای حالت بالای سطح و هم سطح آب نیز این روند عکس حالت زیر سطح آب مشاهده می‌شود (شکل ۷ب).

با مقایسه نتایج برای پایه مربعی با دماغه سهمی شکل با پایه مربعی با دماغه تیز [۱۹] در شرایط آزمایشگاهی یکسان مشخص می‌شود که اجسام شناور چوبی تاثیر بیشتری بر عرض، طول و عمق گودال آبشنستگی در جلوی پایه مربعی با دماغه تیز، نسبت به پایه مربعی با دماغه سهمی شکل دارد (۱/۴ برابر). همچنین میزان کفکنی مواد بستر در زیر اجسام شناور در جلو پایه مربعی با دماغه سهمی بیشتر از پایه مربعی با دماغه تیز، بیشینه عمق آبشنستگی در حالت زیر سطح آب مشاهده شد [۱۹].



شکل (۶) تاثیر نفوذپذیری اجسام شناور چوبی بر تکامل زمانی آبشنستگی

۲-۳ تاثیر نفوذپذیری اجسام شناور چوبی بر گودال آبشنستگی

طبق مطالعات پارولا و همکاران [۲۰] و پاگلیارا و کارناسینا [۱۵] نفوذپذیری اجسام شناور چوبی تاثیری بر طول، عرض و بیشینه عمق آبشنستگی ندارد، اما به عنوان بار اضافی بر پایه پل محسوب می‌شود و می‌تواند پایداری پل را به خطر بیندازد. در این پژوهش برای مشاهده تاثیر نفوذپذیری اجسام شناور چوبی بر حداکثر عمق گودال آبشنستگی، به مقایسه جسم شناور چوبی با طول، عرض و ارتفاع به ترتیب (۰/۶-۱۰-۱۵-۲۰) سانتی‌متر و با نفوذپذیری متفاوت (۰/۷-۰/۶) و شرایط هیدرولیکی یکسان

$$\frac{d}{b} = 0.333, \quad \frac{L}{D} = 1.667, \quad \frac{h}{D} = 2.22, \quad Fr = 0.2384$$

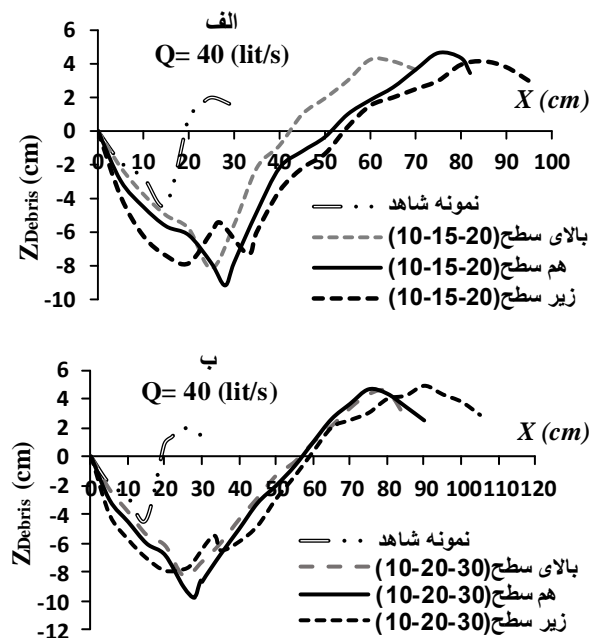
در سه حالت قرارگیری بالای سطح، هم سطح و زیر سطح

به علاوه میزان کف کنی در زیر اجسام شناور و مقدار بیشینه عمق آبستگی در حالت اجسام شناور چوبی هم سطح آب بیشتر از حالت قرارگیری بالای سطح آب مشاهده شد (به ترتیب $1/2$ و $1/1$ برابر). به طور کلی اگر اجسام شناور در حالت هم سطح آب قرار گیرند بیشینه عمق آبستگی رخ می دهد و باعث افزایش طول و عرض گودال می شود ($2/5$ برابر نمونه شاهد).

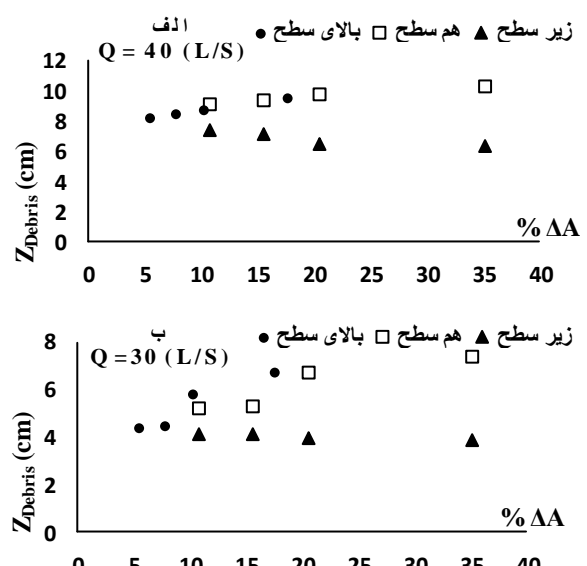
علاوه بر این، برای حالاتی که اجسام شناور داخل آب در موقعیت بالای سطح و هم سطح آب قرار گرفته باشند هر چه حجم قسمت مستغرق بیشتر باشد حجم و عمق گودال آبستگی نیز بزرگتر خواهد بود. در شرایط قرارگیری زیر سطح آب هرچه حجم اجسام کمتر باشد عمق آبستگی بیشتر و گودالی که در زیر اجسام شناور رخ می دهد کمتر می شود. شکل ۸ (الف و ب) بیشینه عمق آبستگی را در مقابل درصد انسداد در سه حالت ذکر شده در دبی های 30 و 40 لیتر بر ثانیه نشان می دهد. همان طوری که ملاحظه می شود بیشترین عمق آبستگی مشاهده شده مربوط به حالتی است که اجسام شناور چوبی در موقعیت هم سطح آب در جلو پایه با دبی 40 لیتر بر ثانیه و درصد انسداد، $\Delta A = 35.29\%$ است، که در این حالت $d_d/b = 0.75$ است.

همچنین در شکل بالا بیشینه عمق آبستگی برای اجسام شناور چوبی در موقعیت بالای سطح آب نزدیک و یا حتی بیشتر از بیشینه عمق آبستگی اجسام شناور در موقعیت هم سطح آب مشاهده می شود (به ویژه در حالت درصد انسداد شناور چوبی قرارگرفته شده در جلو پایه پل است. یعنی اینکه اجسام شناور چوبی که در حالت $10.29 \leq \Delta A \leq 10.78\%$ قرارگرفته شده است برای حالت بالای سطح آب از نوع مستطیلی (M_3) و برای حالت هم سطح آب جسم شناور چوبی از نوع مستطیلی (M_1) است؛ و از آنجایی که ابعاد جسم شناور قرارگرفته شده در جلو پایه در حالت بالای سطح آب بزرگتر از جسم شناور چوبی در حالت هم سطح آب است، بنابراین تقریباً یک درصد انسداد

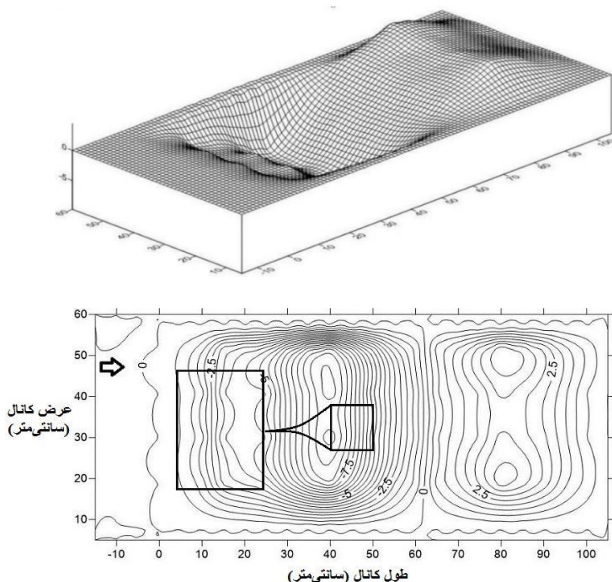
با قرارگیری جسم شناور در حالت زیر سطح آب بیشترین مواد بستر در پشت پایه تجمع می یابد. به طوری که با افزایش حجم اجسام شناور در جلو پایه، طول تپه ماسه‌ای (مواد بستر جمع شده) در پشت پایه بیشتر مشاهده شد.



شکل (۷) پروفیل طولی عمق گودال آبستگی با دبی ($Q=40$ Lit/s) در حضور اجسام شناور الف - $(10-15-20)$ سانتی متر و ب - $(10-20-30)$ سانتی متر



شکل (۸) بیشینه عمق آبستگی در برابر درصد انسداد اجسام شناور قرار داده شده در جلو پایه برای الف ($Q=40$ lit/s) و ب ($Q=30$ lit/s)



شکل (۱۰) پروفیل بستر نهایی برای اجسام شناور در موقعیت هم-

سطح آب در زمان ۴۲۰ دقیقه با مشخصات:

$$\frac{d_d}{b} = 0.5, \frac{L_d}{D} = 2.222, \frac{h}{D} = 2.222, Fr = 0.238, \Delta A\% = 20.58$$

۵-۳ رابطه عمق آبشنستگی در حضور اجسام شناور

برای یافتن رابطه مناسب برای پیش‌بینی عمق آبشنستگی در جلوی پایه مربعی با دماغه سهمی شکل از نتایج آنالیز ابعادی استفاده می‌شود. با توجه به اینکه نسبت D/d_{50} و نسبت h/D ثابت می‌باشد پس در رگرسیون اثر آنها نادیده گرفته شد. همچنین اثر پارامتر بدون بعد d_d/b و L_d/h نیز نادیده در نظر گرفته شد زیرا اثر آنها در رابطه بی بعد درصد انسداد اعمال شده است. بدین ترتیب رابطه عمق آبشنستگی به صورت نمایی به صورت زیر بیان می‌شود:

$$\frac{Z_{debris}}{D} = \alpha (Fr)^{a_1} (\Delta A \%)^{a_2} \left(\frac{L_d}{D} \right)^{a_3} \quad (6)$$

با \ln گرفتن از طرفین رابطه ۶ داریم:

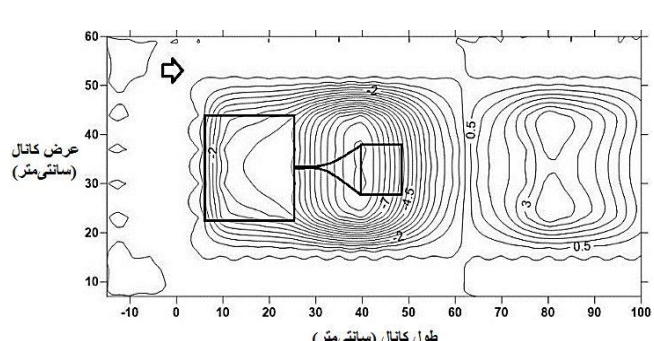
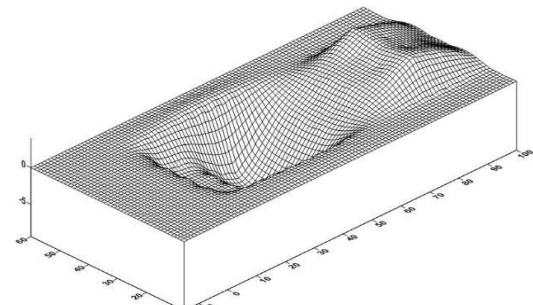
$$\ln \left(\frac{Z_{debris}}{D} \right) = [\ln \alpha + a_1 \ln (Fr) + a_2 \ln (\Delta A \%) + a_3 \ln \left(\frac{L_d}{D} \right)] \quad (7)$$

سپس با استفاده از نرم افزار spss و رگرسیون خطی مقادیر a_1 تا a_4 و $\ln \alpha$ به دست آورده شد. مقدار R^2 برابر با ۰/۷۸ است، که در سطح معنی‌داری ۹۹٪، معنی‌دار بوده و نشان می‌دهد ۷۸ درصد از تغییرات آبشنستگی به وسیله‌ی پارامترهای مورد بررسی، توجیه می‌شود. همچنین مقدار F (آزمون کارایی مدل)

بوجود آمده است و فقط حالت قرارگیری جسم شناور متفاوت است. به همین دلیل بیشینه عمق آبشنستگی برای حالت قرارگیری بالای سطح آب نزدیک و یا حتی بیشتر از حالت قرارگیری هم سطح آب مشاهده می‌شود.

۴-۴ تغییرات نهایی پروفیل بستر

شکل ۹ و ۱۰ شکل بستر ایجاد شده برای اجسام شناور چوبی با عرض و طول و ارتفاع به ترتیب (۱۰-۱۵-۲۰) و (۴۰-۲۰-۳۰) سانتی‌متر در حالت هم سطح آب با دبی ۱۰ لیتر بر ثانیه را نشان می‌دهد. با مقایسه شکل ۹ و ۱۰ مشخص می‌شود که عرض و طول گودال آبشنستگی در زیر مستقیم بر میزان عرض و طول گودال آبشنستگی در زیر اجسام شناور دارد به طوری که با افزایش عرض اجسام، میزان تنگ‌شدگی جریان نسبت به کanal بیشتر و رسوب‌زدایی بیشتری در عرض کanal رخ می‌دهد. همچنین فاصله‌ی خط‌های تراز در پروفیل طولی بستر نسبت به هم به اندازه ۰/۵ سانتی‌متر است.



شکل (۹) پروفیل بستر نهایی برای اجسام شناور در موقعیت هم‌سطح آب در زمان ۴۲۰ دقیقه با مشخصات:

$$\frac{d_d}{b} = 0.333, \frac{L_d}{D} = 1.667, \frac{h}{D} = 2.222, Fr = 0.238, \Delta A\% = 10.78$$

به نمونه شاهد شد (۲۳۶ برابر). برخورد جریان با اجسام شناور چوبی انباسته شده در جلو پایه، علاوه بر افزایش عمق آبستگی باعث کف کنی در زیر اجسام و به وجود آوردن چاله در جلو پایه می شود. علاوه بر این، اگر اجسام شناور در موقعیت زیر سطح آب در جلو پایه قرار گیرند مقدار بیشینه عمق آبستگی نسبت به موقعیت بالای سطح و هم سطح آب کاهش می یابد اما میزان کف کنی مواد بستر در زیر اجسام افزایش می یابد (ایجاد گودال در بالادست پایه). نتایج نشان داد در حالت استفاده از پایه با دماغه سهمی شکل، میزان آبستگی نسبت به حالت پایه با دماغه تیز، ۲/۳ درصد کمتر می شود (با و بدون تجمع اجسام شناور). همچنین رابطه ای برای پیش بینی عمق آبستگی در حضور اجسام شناور در جلوی پایه مربعی با دماغه سهمی شکل ارائه شد.

۵- مراجع

- [1] Laursen, E.M., and Toch, A., "Scour around bridge piers and abutments," Bulletin No. 4, Iowa Highways Research Board, Ames, Iowa, 1956.
- [2] Diehl, T.H., "Potential drift accumulation at bridges," Report No. FHWA-RD-97-028, Hydraulic Engineering No. 9, Federal Highway administration, Washington, D.C, 1997.
- [3] Breusers, H.N., and Raudkivi, A.J., "Scouring Hydraulic Structures Design Manual," Balkema, Rotterdam.2.152, 1991.
- [4] Mellvil, B.W., and Chiew, Y.M., "Time scale for local scour at bridge piers," Hydraulic Engineering ASCE 125(1), pp. 59-65, 1999.
- [5] Richardson, E.V., and Davis, S.R., "Evaluating Scour at bridges," Fourth Edition, Federal Highway Administration, Washington, DC. 378P. 2001.
- [6] Laursen, E.M., "Scour at bridge crossings," Bulletin No. 8, Iowa Highways Research Board, Ames, Iowa, 1958.
- [7] Raudkivi, A.J., and Ettema, R., "Clear-water scour at cylindrical pier," Journal of Hydraulic Engineering, No. 3, pp. 338–350, 1983.
- [8] Zevenbergen, L.W., "Time scale for contraction scour at bridges," Water Resources Engineering, Minneapolis, 30 July - 2 August, 2000.
- [9] Link, O., Pfleger, F., and Zanke, U., "Characteristics of developing scour-holes at a sand-embedded cylinder," International Journal of Sediment Research, No. 3, pp. 258–266, 2008.
- [10] Braudrick, C.A., and Grant, G.E., "Transport and deposition of large woody debris in streams: a flume experiment," Geomorphology, pp. 263–283, 2001.

برای مدل فوق $33/96$ محاسبه شده که در سطح معنی داری 99% معنی دار بوده و نشان دهنده کارایی قابل قبول مدل است. معادله بیشینه عمق آبستگی در اثر تجمع اجسام شناور در جلو پایه مربعی با دماغه سهمی شکل به صورت زیر ارائه می شود.

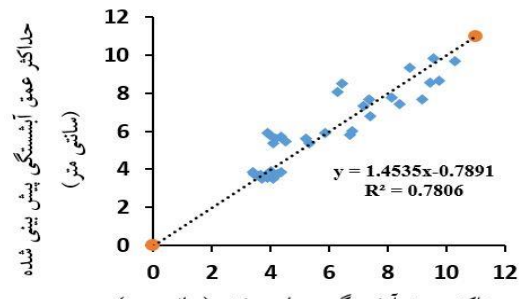
$$\frac{Z_{debris}}{D} = 1.35 (Fr)^{0.42} (\Delta A \%)^{0.139} \left(\frac{L}{d}\right)^{0.315} \quad (8)$$

میانگین مجموع خطای پیش بینی شده مدل از فرمول زیر حساب می شود.

$$MFE = \frac{1}{n} \sum_{i=1}^n (y_i - \hat{y}_i) \quad (9)$$

در رابطه‌ی بالا؛ MFE میانگین مجموع خطای پیش بینی شده، y_i بیشینه عمق آبستگی محاسبه شده و \hat{y}_i بیشینه عمق آبستگی پیش بینی شده حاصل از آزمایش و n نیز تعداد مشاهده است. مقدار ایده‌آل برای MFE صفر است که نشان دهنده مدلی بدون خطای هرچه قدر به صفر نزدیکتر شود نشان دهنده دقت فرمول است. برای مدل فوق مقدار $MFE=0.131$ به دست آمد، که این مقدار به صفر نزدیک است و نشان دهنده دقت نسبتاً بالای مدل است.

شکل ۱۱ بیشینه عمق آبستگی محاسبه شده در برابر بیشینه عمق آبستگی مشاهده شده را نمایش می دهد. همانطور که شکل نشان می دهد پراکندگی داده ها در حد قبل قبول است.



شکل (۱۱) مقایسه حداکثر عمق آبستگی محاسبه شده و پیش بینی شده حاصل از آزمایش

۴- نتیجه گیری

در این پژوهش اثر اجسام شناور روی آبستگی یک پایه مربعی با دماغه سهمی شکل بررسی شد. تجمع اجسام شناور چوبی در جلو پایه باعث افزایش بیشینه عمق آبستگی نسبت

136, 2011.

- [17] Elliot, R.C., Froehlich, D.C., and MacArthur, R.C., "Calculating the Potential Effects of Large Woody Debris Accumulations on Backwater, Scour, and Hydrodynamic Loads," World Environmental and Water Resources. Crossing Boundaries © ASCE. pp. 1213-1222, 2012.
- [18] Ghorbani, B., and Kells, J.A., "Effect of Submerged Vanes on The Scour occurring at a Cylindrical Pier," Journal of Hydraulic Research, pp. 610-619, 2008.
- [19] Moshashaie, S.M., Asadi, M., and Ghorbani, B., "The Effects Of Woody Debris Accumulations On, Local Scour And Hydrodynamic Loads At Bridge Piers," International Conference on Civil Engineering, 27&28 November 2013, Tabriz, Iran, 2013.
- [20] Parola, A.C., Apelt, C.J., Jempson, M.A., "Debris forces on highway bridges," NCHRP Report No. 445. Transportation Research Board ,Washington,DC, 2000.
- [21] Vanoni, V.A., "Sedimentation Engineering ASCE Task Committee for the preparation of the manual on sedimentation of the sedimentation committee of the Hydraulics division," 1975. (reprinted 1977).

- [11] Lyn, D.A., Cooper, T., Yi, Y.K., Sinha, R., and Rao, A.R., "Debris accumulation at bridge crossings: laboratory and field studies," TRB 2003 Annual Meeting, 2003.
- [12] Andreoli, A., Comiti, F., and Lenzi, M.A., "Characteristics, distribution and geomorphic role of large woody debris in a mountain stream of the Chilean Andes," Earth Surface Processes and Landforms, pp. 1675-1692, 2007.
- [13] Melville, B.W., and Dongol, D.M., "Bridge pier scour with debris accumulation," Journal of Hydraulic Engineering, No. 9, pp. 1306-1310, 1992.
- [14] Lagasse, P.F., Cloper, P.E., Zevenbergen, P.E., Spitz, W.J., and Girard, L.G., "Effects of Debris on Bridge Pier Scour," Transportation Research Board, 117P, 2010.
- [15] Pagliara, S., and Carnacina, I., "Temporal scour evolution at bridge piers: Effect of woody debris roughness and porosity," Journal of Hydraulic Research 48(1), pp. 3-13, 2010.
- [16] Pagliara, S., and Carnacina, I., "Influence of large woody debris on sediment scour at bridge piers," International Journal of Sediment Research, pp. 121-